

УДК 532.529.

ЧИСЛЕННОЕ МОДЕЛИРОВАНИЕ НЕУСТАНОВИВШИХСЯ ТЕЧЕНИЙ  
ДВУХКОМПОНЕНТНОЙ ГЕТЕРОГЕННОЙ СРЕДЫ С УЧЕТОМ  
СКОРОСТНОЙ И ТЕМПЕРАТУРНОЙ НЕРАВНОВЕСНОСТИ КОМПОНЕНТ

О.В.Буряков, В.Ф.Куропатенко

Предложены математическая модель и численный метод для описания ударно-волновых процессов в двухкомпонентной гетерогенной среде с учетом скоростной и температурной неравновесности компонент.

Смеси веществ широко представлены в природе и часто используются в различных технологических процессах. Смесь, компоненты которой представлены частицами, содержащими большое количество молекул (атомов) данного вещества, называют гетерогенной средой.

Ударно-волновые процессы в гетерогенных средах сопровождаются рядом специфических явлений: образованием многоволновых структур, сепарацией и т.п. Эти эффекты могут быть описаны в рамках многоскоростных моделей гетерогенных сред [1].

Определим следующие макроскопические параметры двухкомпонентной гетерогенной среды и компоненты в элементарном объеме гетерогенной среды;

$\alpha_i = \lim_{\delta \rightarrow 0} \frac{\theta_i}{\theta}$  - объемная концентрация  $i$ -й компоненты;  $h_i = \lim_{\delta \rightarrow 0} \frac{M_i}{M}$  - массовая концентрация  $i$ -й компоненты;  $\rho_{ci} = \lim_{\delta \rightarrow 0} \frac{M_i}{\theta}$  - парциальная плотность  $i$ -й компоненты;  $\rho_i = \lim_{\delta \rightarrow 0} \frac{M_i}{\theta_i}$  - плотность  $i$ -й компоненты;  $\bar{\delta}$  - плоская элементарная площадка в гетерогенной среде;  $\bar{\delta}_i$  - часть  $\bar{\delta}$ , которую занимает  $i$ -я компонента;  $F_{ni}$  - сила, действующая по нормали  $\bar{n}$  к  $\bar{\delta}_i$ ;  $P_i = \lim_{\bar{\delta}_i \rightarrow 0} \frac{F_{ni}}{\bar{\delta}_i}$  - давление  $i$ -й компоненты;  $\rho = \sum_{i=1}^2 \rho_{ci}$  - плотность смеси;

$P = \sum_{i=1}^2 \alpha_i P_i$  - давление смеси;  $u_i$  - скорость  $i$ -й компоненты;  $\kappa_i = \frac{u_i^2}{2}$  - удельная кинетическая

энергия  $i$ -й компоненты;  $E_i$  - удельная внутренняя энергия  $i$ -й компоненты;  $\epsilon_i = E_i + \kappa_i$  - удельная полная энергия  $i$ -й компоненты;  $\kappa = \sum_{i=1}^2 h_i \kappa_i$  - удельная кинетическая энергия смеси;  $E = \sum_{i=1}^2 h_i E_i$  - удельная внутренняя энергия смеси;  $\epsilon = \sum_{i=1}^2 h_i \epsilon_i$  - удельная полная энергия смеси.

Как в [2], будем предполагать:

1) размер частиц компонент в гетерогенной среде много больше молекулярно-кинетических размеров, т.е. частицы содержат большое количество молекул;

2) размер частиц компонент много меньше расстояний, на которых макроскопические или осредненные параметры гетерогенной среды или компонент меняются существенно (вне поверхностной разрыва).

В свете этих допущений процессы в отдельной частице, ее параметры состояния, уравнения, описывающие течение этих процессов и изменение параметров, предстают как микропроцессы, микропараметры, микроуравнения по отношению к гетерогенной среде в целом, а система частиц, относящаяся к данной компоненте, - как некая сплошная среда, характеризующаясь своими средними параметрами, являющимися уже макроскопическими для гетерогенной среды. Таким

образом, двухкомпонентная гетерогенная среда представляется совокупностью двух сплошных сред, каждая из которых описывается своими параметрами  $u_i$ ,  $\rho_{ci}$ ,  $\varepsilon_i$ ,  $\rho_i$  и т.д. Эти сплошные среды взаимопроникают друг в друга и заполняют один и тот же объем.

Система уравнений законов сохранения гетерогенной смеси двух веществ в одномерном случае имеет следующий вид:

$$\frac{\partial \rho_{ci}}{\partial t} + \frac{\partial}{\partial x} (\rho_{ci} u_i) + \frac{(\nu-1) \rho_{ci} u_i}{z} = 0; \quad (I)$$

$$\rho_{ci} \frac{d_i u_i}{dt} + \frac{\partial \alpha_i \rho_i}{\partial x} = R_{ji}; \quad (2)$$

$$\rho_{ci} \frac{d_i \varepsilon_i}{dt} + \frac{\partial}{\partial x} (\alpha_i \rho_i u_i) + \frac{(\nu-1) \alpha_i \rho_i u_i}{z} = \Phi_{ji}; \quad (3)$$

$$\bar{\rho}_i = f_{\bar{\rho}_i}(\rho_i, \varepsilon_i), \quad \bar{\rho}_i = f_{\bar{\rho}_i}(\rho_i, \varepsilon_i); \quad (4)$$

$$\frac{d_i}{dt} = \frac{\partial}{\partial t} + u_i \frac{\partial}{\partial x}; \quad (5)$$

$$\alpha_1 + \alpha_2 = 1, \quad \rho_1 + \rho_2 = 1, \quad \sum_{ij} R_{ji} = \sum_{ij} \Phi_{ji} = 0; \quad (6)$$

$$\rho_{c1i} (D - u_{1i}) = \rho_{c10} (D - u_{10}); \quad (7)$$

$$\alpha_{1i} \rho_{1i} + \rho_{c1i} (D - u_{1i})^2 = \alpha_{10} \rho_{10} + \rho_{c10} (D - u_{10})^2 + R_{ji} \sigma; \quad (8)$$

$$\alpha_{1i} \rho_{1i} (D - u_{1i}) + \rho_{c1i} (D - u_{1i}) \left[ \frac{(D - u_{1i})^2}{2} + \varepsilon_{1i} \right] = \alpha_{10} \rho_{10} (D - u_{10}) + \rho_{c10} (D - u_{10}) \left[ \frac{(D - u_{10})^2}{2} + \varepsilon_{10} \right] + \Phi_{ji} \sigma. \quad (9)$$

$i = 1, 2$

Здесь (I)-(3) - уравнения в области непрерывного течения компонент; (4) - уравнения состояния компонент; (7)-(9) соотношения на поверхности сильного разрыва  $\sigma$ , движущейся со скоростью  $D$ ;  $\nu$  - показатель симметрии;  $z$  - эйлеров радиус;  $t$  - время;  $R_{ji}$ ,  $\Phi_{ji}$  - интенсивности силового и энергетического взаимодействий компонент;  $R_{ji\sigma}$ ,  $\Phi_{ji\sigma}$  - поверхностные распределения  $R_{ji}$ ,  $\Phi_{ji}$  на  $\sigma$ .

Для интенсивностей силового и энергетического взаимодействий компонент примем следующее

представление:

$$R_{ji} = \frac{\rho_{ci} \rho_{cj}}{\rho} (u_j - u_i) \cdot F; \quad (10)$$

$$\Phi_{ji} = R_{ji} u_i + b_i R_{ji} (u_j - u_i) \frac{d_i \alpha_i}{dt} + \frac{d_i \theta_{ji}^*}{dt}; \quad (11)$$

$$F = F(|u_j - u_i|, d_i, d_j, \mu_i, \mu_j, \dots), \quad (12)$$

где

$d_i$  - характерный размер частиц  $i$ -й компоненты;  $\mu_i$  - коэффициент вязкости  $i$ -й компоненты.

Первый член в правой части (II) - мощность сил взаимодействия на перемещение, связанное с полем скорости  $i$ -й компоненты. Существование силового взаимодействия приводит к диссипации кинетической энергии гетерогенной среды в единицу времени на величину  $(u_j - u_i) R_{ji}$ . Диссипированная кинетическая энергия полностью переходит в тепло. Распределение тепла по компонентам регулирует коэффициент  $b_i$ . Изменение внутренней энергии компоненты связано не только с работой внешних сил на относительном перемещении, обусловленном полем скорости  $u_i$ , но и с обменом энергией между компонентами в процессе реализации условий совместного деформирования. Этот обмен может происходить с одной стороны, как обмен теплом и поэтому в уравнении энергии  $i$ -й компоненты должен присутствовать член  $d_i \theta_{ji}^* / dt$ , учитывающий этот теплообмен, а с другой стороны, - как дополнительная работа, совершаемая компонентой при перемещении межкомпонентных поверхностей раздела. Эта работа связана с реализацией условий совместного деформирования, а не с полем скорости  $u_i$ . Выражение для этой дополнительной работы представлено третьим членом в (II).

Уравнение притока тепла в компоненту с учетом (II) имеет вид

$$\frac{d_i \varepsilon_i}{dt} - \frac{\rho_i}{\rho_i^2} \frac{d_i \rho_i}{dt} = \frac{b_i R_{ji}}{\rho_{ci}} (u_j - u_i) + \frac{1}{\rho_{ci}} \frac{d_i \theta_{ji}^*}{dt}. \quad (13)$$

В качестве условия совместного деформирования компонент будем пользоваться предположением о локальном равенстве давлений компонент

$$\bar{p}_i = \bar{p}_j = \bar{p}. \quad (14)$$

Теплообмен между компонентами будем описывать уравнением

$$\frac{d_i u_{ji}^0}{dt} = T_{ji} (T_j - T_i), \quad (15)$$

в котором функция  $T_{ji}$  зависит от теплофизических свойств компонент и  $T_{ji} \in [0, \infty)$ . В крайних точках области изменения  $T_{ji}$  реализуются полярные гипотезы: об отсутствии теплообмена и о тепловом равновесии компонент.

В общем случае функции  $F$  в (10) и  $T_{ji}$  в (15) зависят от физико-химических свойств компонент, структур гетерогенной среды и параметров течения.

В численном методе интегрирования системы уравнений математической модели гетерогенной среды (1)-(15) используется следующее разбиение по физическим процессам.

Этап 1. В лагранжевой системе координат компоненты рассчитывается ее движение и деформация с учетом силового воздействия со стороны другой компоненты. В результате получаются индивидуальные (несогласованные с условиями совместного деформирования) значения параметров компонент.

Этап 2. В эйлеровой системе координат определяется пространственное соответствие компонент, после чего локально осуществляется перевод их индивидуальных термодинамических состояний в состояние, удовлетворяющие условию совместного деформирования.

Для каждой компоненты введем в рассмотрение индивидуальную лагранжеву систему координат, связанную с полем скорости этой компоненты.

Лагранжеву массовую переменную введем по формуле

$$d_i M_i = \rho_{ci} \tau^{i-1} (d_i \tau - u_i dt). \quad (16)$$

Уравнения, описывающие движение  $i$ -й компоненты в ее лагранжевой системе координат, имеют вид

$$\frac{d_i v_{ci}}{dt} - \frac{\partial \tau^{i-1} u_i}{\partial M_i} = 0; \quad (17)$$

$$\frac{d_i u_i}{dt} + \tau^{i-1} \frac{\partial \alpha_i \rho_i}{\partial M_i} = v_{ci} R_{ji}; \quad (18)$$

$$\frac{d_i \epsilon_i}{dt} + \frac{\partial \alpha_i \rho_i u_i \tau^{i-1}}{\partial M_i} = v_{ci} \phi_{ji}; \quad (19)$$

$$v_{ci} = \frac{1}{\rho_{ci}}, \quad \frac{d_i \tau}{dt} = u_i; \quad (20)$$

$$W_{ci} = \frac{1}{v_{ci}} (D - u_{ci}) = \frac{1}{v_{ci0}} (D - u_{ci0}); \quad (21)$$

$$W_{ci} (v_{cii} - v_{ci0}) = (u_{ci} - u_{ci0}); \quad (22)$$

$$W_{ci} (u_{ci} - u_{ci0}) = \alpha_{ci} P_{i, i} - \alpha_{i0} P_{i0} + R_{ji} \sigma; \quad (23)$$

$$\epsilon_{ci} = \epsilon_{i0} + \frac{1}{2} (u_{ci}^2 - u_{ci0}^2) + \frac{1}{W_{ci}} [\alpha_{ci} P_{i, i} u_{ci} - \alpha_{i0} P_{i0} u_{ci0}] + \frac{\phi_{ji} \sigma}{W_{ci}}. \quad (24)$$

В общем случае, ввиду (10)-(12), (14), (15), для замыкания системы уравнений (17)-(23) необходимо также привлечь законы сохранения для  $j$ -й компоненты, записанные в лагранжевой системе координат  $i$ -й компоненты.

В предлагаемом методе численного интегрирования системы уравнений (1)-(9) используется уравнение движения  $j$ -й компоненты в лагранжевой системе координат  $i$ -й компоненты

$$\frac{d_i u_i}{dt} + (u_j - u_i) \rho_{ci} \tau^{i-1} \frac{\partial u_j}{\partial M_i} + \frac{\rho_{ci}}{\rho_{cj}} \tau^{i-1} \frac{\partial \alpha_i \rho_i}{\partial M_i} = v_{cj} R_{ij}. \quad (25)$$

На этапе расчета движения компоненты используется разностная схема, обобщающая схему [3] на случай двухкомпонентной смеси.

Для каждой компоненты строится ее индивидуальная сетка. На сетке компоненты, помимо величин данной компоненты, в области смеси определены величины другой компоненты. Последние получаются в результате интерполяции величин той, другой, компоненты, определенных на ее собственной сетке, на сетку данной компоненты.

Из-за взаимопроницающего движения сетка компоненты может состоять, вообще говоря, из интервалов трех типов: чистого интервала (целиком принадлежащего однокомпонентной среде); смешанного интервала (часть принадлежит однокомпонентной среде, а часть - смеси); гетерогенного интервала (целиком принадлежащего смеси).

В численном методе для обеспечения необходимой точности расчета процессов сепарации и взаимопронижения компонент движение границ смеси отслеживается и рассчитывается как движение особых поверхностей, разделяющих однокомпонентную среду и смесь.

Суть разностной схемы для гетерогенного интервала состоит в следующем.

По известным значениям параметров на момент времени  $t^*$  определяются скорости компонент в

узлах сетки  $i$ -й компоненты на момент времени  $t^{n+1} = t^n + \tau$

$$u_{ki}^{n+1} = u_{ki}^n - \tau f_{ki}^n - \tau \kappa_{kji}^n \frac{u_{ki}^n - u_{kj}^n - \tau (f_{ki}^n - f_{kj}^n)}{[1 + \tau (\kappa_{kij}^n + \kappa_{kjl}^n)]}; \quad (26)$$

$$u_{kj}^{n+1} = u_{kj}^n - \tau f_{kj}^n + \tau \kappa_{kij}^n \frac{u_{ki}^n - u_{kj}^n - \tau (f_{ki}^n - f_{kj}^n)}{[1 + \tau (\kappa_{kij}^n + \kappa_{kjl}^n)]}; \quad (27)$$

где

$$\kappa_{kji}^n = \left( \frac{f_{ki}^n}{\rho} \cdot F \right)_k; \quad (28)$$

$$f_{ki}^n = \frac{(\bar{\alpha} \bar{P})_{(k+0,5)i}^n - (\bar{\alpha} \bar{P})_{(k-0,5)i}^n}{0,5(m_{(k+0,5)i}^n + m_{(k-0,5)i}^n)}; \quad (29)$$

$$f_{kj}^n = (u_{kj}^n - u_{ki}^n) f_{kij}^n \rho_{kci}^n + \frac{f_{kci}^n}{\rho_{kci}^n} \frac{(\bar{\alpha} \bar{P})_{(k+0,5)j}^n - (\bar{\alpha} \bar{P})_{(k-0,5)j}^n}{0,5(m_{(k+0,5)j}^n + m_{(k-0,5)j}^n)}; \quad (30)$$

$$\rho_{kci}^n = \frac{M_{(k+0,5)i} + M_{(k-0,5)i}}{(z_{(k+1)i}^n)^2 - (z_{(k-1)i}^n)^2}; \quad (31)$$

$$\rho_{kci}^n = \frac{M_{(k+0,5)j} + M_{(k-0,5)j}}{(z_{(k+1)j}^n)^2 - (z_{(k-1)j}^n)^2}; \quad (32)$$

$$\xi_{ij}^n = \begin{cases} \frac{u_{(k+0,5)j}^n - u_{kj}^n}{m_{(k+0,5)j}^n}, & \text{если } (u_{kj}^n - u_{ki}^n) < 0; \\ \frac{u_{kj}^n - u_{(k-1)j}^n}{m_{(k-0,5)j}^n}, & \text{если } (u_{kj}^n - u_{ki}^n) > 0; \end{cases} \quad (33)$$

$$m_{(k+0,5)i}^n = \rho_{(k+0,5)ci}^n (z_{(k+1)i}^n - z_{ki}^n); \quad (34)$$

$$m_{(k-0,5)i}^n = \rho_{(k-0,5)ci}^n (z_{ki}^n - z_{(k-1)i}^n). \quad (35)$$

После этого рассчитываются новые координаты узлов сетки и диссипация кинетической энергии на шаге  $\tau$

$$z_{ki}^{n+1} = z_{ki}^n + \tau u_{ki}^{n+1}; \quad (36)$$

$$\Delta Q_{kji}^{n+1} = \kappa_{kji}^n (u_{ki}^{n+1} - u_{kj}^{n+1})^2 \cdot \tau. \quad (37)$$

На этапе расчета движения компонента предполагается

$$v_i = 0, \quad \frac{d_i Q_{ji}}{dt} = 0, \quad \frac{d_i \alpha_i}{dt} \neq 0, \quad (38)$$

т.е. учитывается только силовое взаимодей-

ние компонент (за счет  $R_{ji}$ ). В ячейке своей сетки на этом этапе компонента деформируется так, как будто другой компоненты нет.

Предположения (38) позволяют определить индивидуальные термодинамические параметры компонент на момент времени  $t^{n+1}$ .

Пусть  $\Delta u_i = u_{(k+1)i}^{n+1} - u_{ki}^{n+1} < 0$ .

Будем считать, что в этом случае в интервале находится ударная волна. Величины  $(\bar{P}, \bar{E}, \bar{V})_{(k+0,5)i}^{n+1}$  определяются в результате решения следующей системы трех уравнений:

$$[\bar{P}_{(k+0,5)i}^{n+1} - P_{(k+0,5)i}^n] [\bar{V}_{(k+0,5)i}^{n+1} - V_{(k+0,5)i}^n] = -(\Delta u_i)^2; \quad (39)$$

$$\bar{E}_{(k+0,5)i}^{n+1} = E_{(k+0,5)i}^n + \frac{1}{2} (\Delta u_i)^2 - P_{(k+0,5)i}^n [\bar{V}_{(k+0,5)i}^{n+1} - V_{(k+0,5)i}^n]; \quad (40)$$

$$\bar{P}_{(k+0,5)i}^{n+1} = f_{\rho} (\bar{V}_{(k+0,5)i}^{n+1}, \bar{E}_{(k+0,5)i}^{n+1}). \quad (41)$$

После этого  $E_{(k+0,5)i}^{n+1}$  находится из уравнения

$$E_{(k+0,5)i}^{n+1} = E_{(k+0,5)i}^n - a,5 [\bar{P}_{(k+0,5)i}^{n+1} + P_{(k+0,5)i}^n] [V_{(k+0,5)i}^{n+1} - V_{(k+0,5)i}^n]. \quad (42)$$

Пусть теперь  $\Delta u_i = u_{(k+1)i}^{n+1} - u_{ki}^{n+1} \geq 0$ .

Будем считать, что в этом случае в интервале нет сильных разрывов. Величины  $(\rho, E)_{(k+0,5)i}^{n+1}$  получаются в результате интегрирования уравнения изэнтропии  $i$ -й компоненты с необходимой точностью.

После определения индивидуальных термодинамических параметров компонент осуществляется этап 2-го расчета, в результате которого получаются новые значения  $\alpha_i^{n+1}, \rho_i^{n+1} = \rho_i^{n+1}, E_i^{n+1}, E_j^{n+1}, \bar{\alpha}_i^{n+1}, \bar{P}_i^{n+1} = \bar{P}_i^{n+1}, \bar{E}_i^{n+1}, \bar{E}_j^{n+1}$ .

На этом вычислительный цикл заканчивается.

Исследование устойчивости разностной схемы приводит к следующему ограничению на шаг по времени  $\tau$ :

$$\tau_i \leq \frac{h_i}{C_{c10}} - \frac{\bar{\kappa}_{ji} h_i + 4 G_{c10}}{4 C_{c10}}, \quad (43)$$

где

$$C_{c10} = \rho_{c10} (\Gamma |\Delta u_i| + c_{10});$$

$\Gamma = \text{const} \approx 4$ ;  $c_{10}$  - скорость звука;

$\kappa_{jk} = \kappa_{jk} / \rho_{c10}$ ;  $b_i$  - шаг сетки по плоской массе.

Кроме критерия устойчивости (43) при определении  $\tau$  из соображений точности учитываются ограничения на деформацию интервала и на изменение объемной концентрации в интервале.

В [4] получено точное решение задачи о движении поршня в гетерогенной смеси двух изотермических газов в случае отсутствия сил взаимодействия компонент. В качестве условия совместного деформирования компонент использовалось предположение (I4).

В переменных скорость, парциальная плотность компонент решение имеет следующий качественный характер.

Если поршень вдвигается в смесь с постоянной скоростью, то по смеси распространяется ударная волна в виде совокупности двух сильных разрывов, движущихся с разными скоростями. На поршне скорости компонент совпадают и равны скорости поршня. За фронтом первого сильного разрыва смесь существенно обогащена легкой компонентой, а за фронтом второго - тяжелой.

Если поршень выдвигается из смеси с постоянной скоростью, то по смеси распространяется волна разрежения в виде совокупности двух волн разрежения, распространяющихся по компонентам. Течение в этом случае является автомодельным. В области постоянного течения у поршня смесь существенно обогащена легкой компонентой.

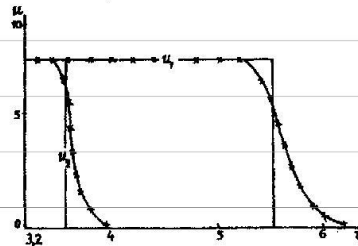


Рис. 1. Решение задачи о поршне, вдвигающемся в смесь двух изотермических газов: — точное решение; - - - численное решение

На рис. 1 изображены точное и численное решения задачи о поршне, вдвигающемся со скоростью  $u = 8$  в гетерогенную смесь двух изотермических газов с уравнениями состояния компонент  $p_i = p_i c_i^{\beta_i}$ ,  $c_i = \text{const}$ . Момент времени  $t = 0,3986$ , параметры компонент:

$$u_{10} = 0, \quad c_1 = 9, \quad \beta_{10} = 1, \quad \alpha_{10} = 0,6, \quad \rho_{10} = 81;$$

$$u_{20} = 0, \quad c_2 = 3, \quad \beta_{20} = 9, \quad \alpha_{20} = 0,4, \quad \rho_{20} = 81.$$

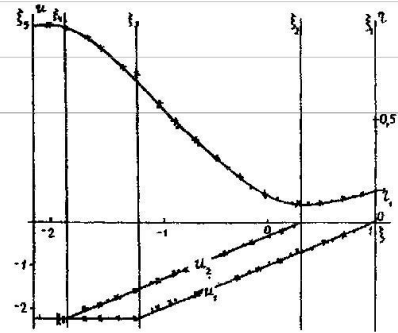


Рис. 2. Решение задачи о поршне, выдвигающемся из смеси двух изотермических газов: — точное решение; - - - численное решение,  $t = 0,515$ ; \* \* \* численное решение,  $t = 0,893$

На рис. 2 в виде безразмерных зависимостей скорости компонент и массовой концентрации первой (легкой) компоненты от автомодельной переменной  $\xi = x/t_{10}$  приведены точное и численное решения задачи о поршне, выдвигающемся с постоянной скоростью  $u = 22,222$  из гетерогенной смеси двух изотермических газов. Результаты расчета приведены на два момента времени  $t_1 = 0,515$ ,  $t_2 = 0,893$ , параметры компонент:

$$u_{10} = 0, \quad c_1 = 10, \quad \beta_{10} = 0,01, \quad \alpha_{10} = 0,6, \quad \rho_{10} = 1;$$

$$u_{20} = 0, \quad c_2 = 3,3333, \quad \beta_{20} = 0,09, \quad \alpha_{20} = 0,4, \quad \rho_{20} = 1.$$

В [5] в рамках гипотезы о локальном равенстве давлений компонент в предположении отсутствия сил взаимодействия за счет разницы скоростей компонент построено точное решение задачи о поршне для смеси двух политропных газов. Решение этой задачи имеет следующий качественный характер.

Если поршень вдвигается в смесь с постоянной скоростью, то по смеси распространяется ударная волна в виде совокупности двух сильных разрывов, движущихся с разными скоростями. На поршне скорости компонент совпадают и равны скорости поршня. За фронтом первого сильного разрыва смесь существенно обогащена легкой компонентой, а за фронтом второго - тяжелой. В отличие от случая смеси изотермических газов на каждом разрыве терпят скачок скорость и парциальная плотность обеих компонент.

Если поршень выдвигается из смеси с постоянной скоростью, то по смеси распространяется волна разрежения. Течение в этом случае явля-

ется автомодельным. В зависимости от величины скорости поршня возможны два типа течения: с полной сепарацией компонент в волне разрежения, когда скорость поршня достаточно велика, и с частичной сепарацией компонент, когда скорость поршня достаточно мала. В последнем случае решение имеет вид волны разрежения, распространяющейся по смеси, которая сопряжена с ударной волной в виде совокупности двух сильных разрезов перед областью постоянного течения у поршня. В первом случае у поршня накапливается чистая легкая компонента, а во втором - смесь, обогащенная легкой компонентой.

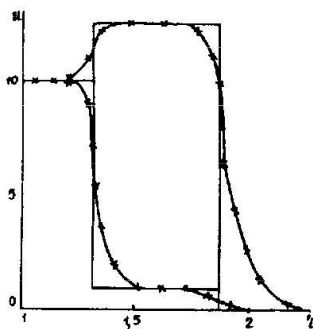


Рис.3. Решение задачи о поршне,двигающемся в смесь двух политропных газов: — точное решение; - \* - \* - численное решение

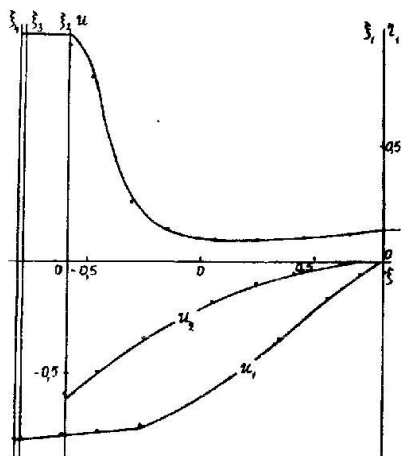


Рис.4. Решение задачи о поршне,двигающемся из смеси двух политропных газов. Режим с полной сепарацией компонент в волне разрежения: — точное решение; \* \* \* - численное решение

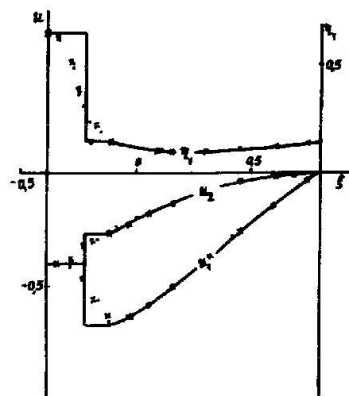


Рис.5. Решение задачи о поршне,двигающемся из смеси двух политропных газов. Режим с частичной сепарацией компонент: — точное решение; \* \* \* - численное решение,  $t = 0,153$ ; - \* - \* - численное решение,  $t = 0,226$

На рис.3-5 изображены точные и численные решения задачи для смеси газов с уравнениями состояния  $p_i = A_i \rho_i^{\gamma_i}$  и следующими начальными значениями параметров компонент:

$$\begin{aligned} u_{10} &= 0, \quad A_1 = 5000, \quad p_{10} = 0,1, \quad \alpha_{10} = 0,41, \\ p_{10} &= 5, \quad \gamma_{10} = 0,13; \\ u_{20} &= 0, \quad A_2 = 50, \quad p_{20} = 0,4642, \quad \alpha_{20} = 0,59, \\ p_{20} &= 5, \quad \gamma_{20} = 0,87. \end{aligned}$$

На рис.3 на момент времени  $t = 0,088$  приведены точное и численные решения задачи о поршне,двигающемся в смесь со скоростью  $u = 10$ . На рис.4,5 в виде безразмерных зависимостей скоростей компонент и массовой концентрации первой (легкой) компоненты от автомодельной переменной  $\xi = x/c_{10} t$  приведены точные и численные решения задачи о поршне,двигающемся с постоянной скоростью  $u = -9,8$  (рис.4) и  $u = -5$  (рис.5) из гетерогенной смеси двух политропных газов. Для  $u = -9,8$  реализуется режим течения с полной сепарацией компонент, а для  $u = -5$  - с частичной сепарацией компонент. На рис.4 результаты приведены на момент времени  $t = 0,196$ , а на рис.5 - на моменты времени  $t = 0,153$  и  $t = 0,226$ .

#### Список литературы

Г. Яненко Н.Н., Солоухин Р.И., Папирин А.Н., Фомин В.М. Сверхзвуковые двухфазные течения в условиях скоростной неравновесности компонент. Новосибирск: Наука, 1980.

2. Нигматуллин Р.И. Основы механики гетерогенных сред. М.: Наука, 1978.

3. Куропатенко В.Ф. О разностных методах для уравнений гидродинамики. - В кн.: Тр. мат. ин-та им. В.А.Стеклова, т.74, 1966, с.107-137.

4. Буряков О.В., Куропатенко В.Ф. Распространение волны разрежения и ударной волны в гетерогенной смеси двух изотермических газов. - ВАНТ. Сер. Методики и программы численного решения задач математической физики, 1981, вып.2(8), с.3-7.

5. Буряков О.В., Куропатенко В.Ф. Решение задачи о движении поршня в смеси двух газов. - ВАНТ, Сер. Методики и программы численного решения задач математической физики, 1985, вып.1, с.13-18.

Статья поступила в редколлегию 31.01.86.  
в редакцию 13.03.86.

---